

表面거칠기의 變化에 따른 核沸騰熱傳達의 特性에 관한 研究

鄭 大 仁

Study on the Characteristics of Nucleate Boiling Heat Transfer with
Changing of Surface Roughness

Jung Daein

.....<目 次>.....	
1. 序 論	4. 實驗結果 및 考察
2. 核沸騰對 發生	5. 結 論
3. 實驗裝置	參考文獻

Abstract

In nucleate boiling, bubbles are created by the expansion of entrapped gas or vapor at small cavities in the surface of heat transfer. Namely, surface roughness is the important factor of heat transfer. This paper deals with the characteristics of boiling curve according to surface roughness. Freon-113 is used as the experimental fluid.

The results are as follows;

1. In the case of the same as " $q=C\Delta T^n$ ", the lower numerical index "n", the larger heat transfer coefficient and the lower wall superheat " ΔT " is obtained for the rougher surface.
2. In the working of every kind of heat transfer surface with boiling, improvement of capabilities of heat transfer can be devised by adding suitable roughness on the heat transfer surface.
3. When the metal nets of moderate mesh number are established, the capabilities of heat transfer can be improved in evaporation of liquid in vessels.

But in the case that the sucession of bubbles in cheked by using the nets which are too tight, the generation of bubbles union decreases critical heat flux.

記號 說明	i''	: enthalpy of gas	kcal/kg
C_f : iso-pressure specific heat of liquid	k_b	: thermal conductivity of brass	kcal/mh°C
g : acceleration of gravity	k_g	: thermal conductivity of glasswool	kcal/mh°C
g_a : acceleration of atmospheric gravity	k_i	: thermal conductivity of iron	kcal/mh°C
i' : enthalpy of liquid	k_l	: thermal conductivity of liquid	kcal/mh°C

L : latent heat, ($=i'' - i'$)	kcal/kg
P_c : critical pressure	kg/cm ² ab
P_g : pressure of gas	kg/cm ² ab
P_l : pressure of liquid	kg/cm ² ab
Pr : prandtl number, dimensionless	
P_s : saturation pressure	kg/cm ² ab
q : heat flux	kcal/m ² h
q_c : critical heat flux	kcal/m ² h
R_c : radius of active cavity	m
T_b : brass temperature	°C
T_c : critical temperature	°C
T_g : temperature of gas	°C
T_l : temperature of liquid	°C
T_{sp} : soliding temperature	°C
T_w : wall temperature of brass	°C
ΔT : wall superheat, ($=T_s - T_w$) °C	
u : velocity of fluid	m/sec
v_c : critical specific volume	m ³ /kg
v' : specific volume of liquid	m ³ /kg
v'' : specific volume of gas	m ³ /kg
W_m : molecular weight	gr/mol
μ_g : viscosity of gas	kg/mh
μ_l : viscosity of liquid	kg/mh
ρ_g : density of gas	kg/m ³
ρ_l : density of liquid	kg/m ³
σ : surface tension	kg/m

I. 序論

傳熱面上의 核沸騰現象은 보일러튜브, 原子爐의 爐心冷却器, 各種 热交換器 및 化學프란트의 蒸發部 등과 같은 많은 工學分野에 應用된다. 또한 最近에는 에너지節約과 더불어 比較的 热負荷가 적은 傳熱面의 경우에도 傳熱性能의 改善이라는 觀點에서 核沸騰의 促進에 關한 研究¹⁾가 行하여지고 있다.

核沸騰의 發生機構는 傳熱面上에 無數히 存在하는 微小한 凹部內의 流體가 過熱되어 氣泡發生의 核으로 作用함으로써 傳熱面 近傍의 過熱液層內에서 氣泡가 成長됨이 알려져 있다. 核沸騰의 發生에 關한 理論的 研究는 Y. H. Hsu²⁾, A. E. Bergles³⁾, E. J. Davis⁴⁾, W. M. Rohsenow⁵⁾, 및 P. Griffith⁶⁾ 等에 依하여 이루어진 바

있다.

熱流束이 큰 強制對流沸騰系 環狀流領域에서의 核沸騰 諸般現象에 關해서는 J. C. Chen⁷⁾, 및 金⁸⁾ 等의 研究가 있다.

亞冷却沸騰領域에서의 核沸騰 發生程度가 매우 重要하며 이에 關하여는 P. Saha⁹⁾ 等의 研究가 있다. 또한 스테인레스系 燒結金屬面의 核沸騰熱傳達에 關하여는 崔¹⁰⁾의 研究가 있다.

Nagayama¹¹⁾는 傳熱面에서 一般的으로 核沸騰을 促進하기 위하여 人工的인 凹部를 形成시켜 현저하게 核沸騰 热傳達率을 改善시키는 研究結果를 얻고 있다.

本 論文에서는 相變化時의 蒸發潛熱을 利用한 傳達方法인 沸騰熱傳達에 있어서 表面의 거칠기의 變化에 따른 沸騰曲線의 特性에 關하여 實驗的研究結果를 얻었다. 또한 하이터 파이프에서 核沸騰部에 動作流體를 供給하기 위하여 金屬網을 設置하게 되는데, 本 研究에서는 水平의 傳熱面上에 32매쉬 및 16매쉬의 黃銅網을 設置하여 이로 因한 傳熱特性의 變化에 關하여도 研究를 行하였다.

2. 核沸騰의 發生

(2.1) 流動流에 있어서 核沸騰의 開始條件

傳熱面上을 液相이 흐르면서 氣泡가 發生하는 경우나 減壓에 依하여 液相中에서 氣泡가 發生하는 경우는 많이 經驗하게 된다.

Fig. 1과 같이 흐름 中에 놓여진 氣體球를 생각하면, 氣體球의 表面에 作用하는 表面張力에 依하여 氣體球內의 壓力은 周圍의 흐름의 壓力보다 $\Delta P (=P_g - P_l)$ 만큼 높게 되며 힘의 平衡

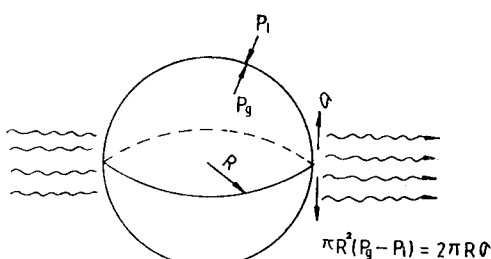


Fig. 1. Balance of force about bubble in flow

Chap. 12. — The First Year of the War, 121

在土壤中，植物根系吸收的无机盐离子浓度比土壤溶液中的浓度高，因此，植物根系吸收的无机盐离子浓度比土壤溶液中的浓度高。

$$\frac{\partial \mathcal{L}}{\partial P} = \frac{T V^T}{L} - \gamma \mathbf{1} \mathbf{1}^T - \alpha \mathbf{1} \mathbf{1}^T + \beta \mathbf{1} \mathbf{1}^T = \mathbf{1} \mathbf{1}^T$$

$T = T_0 + T_1$, 其中 T_0 是氣流的平均溫度， T_1 是擾動溫度。在擾動溫度中， δT 是擾動的平均溫度， δt 是擾動的時間平均溫度。

在於那裡傳熱時會使數字降低且無數
活塞半徑。圖 24 顯示擴管接頭
的形狀，就是這種發生的。其包括一球體
或半球體，然後是擴大的直徑，而底端則為

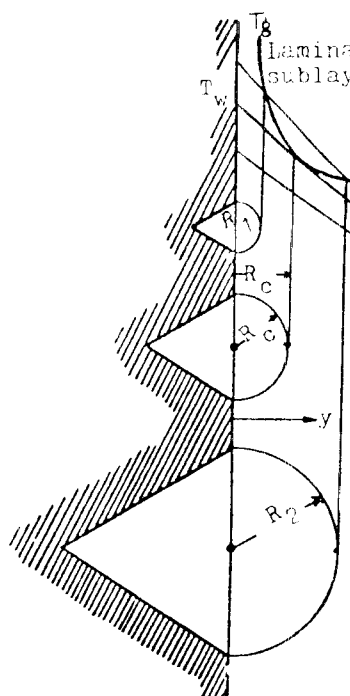


Fig. 2. Initiation of nucleate boiling in convected flow.

是等「合」事件時，氣泡發生前時長熱空傳導率依序為：層流擴散性內壁、移動壁面式、假定壁面。

由不同材料組成的管內流體溫度分布是直線化的問題，熱傳導方程式為

$$\frac{d^2T}{dx^2} = 0$$

$$q = -k_1(T_f/v)_{\text{min}} = k_1(T_w - T_f)/v, \dots, 3)$$

據此 Fig. 4 可知當 R 在固部時其加熱率依
賴於氣體之發熱率與溫度差 $(T_e - T)$ 依
此圖可見， T_e 在一定範圍內，長時間時則氣
體在固部 R 上傳熱速率即達到一常數。置換時
R 表面溫度：

(3) 水平管內熱流的增加率與時間傳熱面積的變化率相等時，管內傳熱面積的增加率與管外流體的溫度變化率相等。Fig. 2-1 表示管壁外，管內流體溫度和管外流體溫度變化率。Fig. 2-2 表示管壁外，管內流體溫度和管外流體溫度變化率。最初在核沸騰時開始起作用，並與最初在核沸騰時發生時一起，當正傳導時，管外管內流體溫度增加率與管外流體溫度增加率相等時，最初在核沸騰時開始起作用，並與最初在核沸騰時發生時一起。

$$T_{\mu\nu} = \bar{g} T^{\bar{\mu}}_{\bar{\mu}} \bar{g}_{\bar{\nu}\bar{\nu}} \quad \text{(Eq. 5)}$$

(2·2) 經沸騰 開始의 理論解析

9. 以下의 假定과 條件에서 다음과 같은 結果 式
을 구하라. (1) 式과 (2) 式에서

$$\Delta T = T_s - T_0 = \frac{2\sigma v'' T_s}{LR} \quad \dots \dots \dots \quad (6)$$

$$R = \mathbb{R}^n / \mathbb{Z}^n$$

$$\frac{\partial T_s}{\partial y} = - \frac{2\pi v'' T_s}{Ly^2} \quad \dots \dots \dots \quad (7)$$

(3) 式の λ

$$T_k = T_i + \frac{yq}{k_1} \quad \dots \dots \dots \quad (3)$$

(7)式對(9)式等(5)式¹代入並用

$$\frac{2\sigma v'' T_s}{Lx} = \frac{q}{k_e} \quad \dots \dots \dots (10)$$

(6) 52% (8) 45.4%

$$T_i + T_s = T_i + T_g + \frac{\gamma_0}{\mu_0} + \frac{2\delta v'' T_i}{LR}, \dots \quad (11)$$

(4) $\mathbb{R}^n \times \mathbb{R}^m \times \mathbb{R}^d$ and \mathbb{R}^{n+m+d}

$$T_w - T_c = \frac{2\pi q}{k} \quad \dots \dots \dots \quad (12)$$

(10)式에서 y 대신 R_c , q 대신 q_c 를 대입하면 다음 式들이 구해진다.

$$R_c = \sqrt{\frac{2\sigma v'' k_i T_s}{L q_c}} \quad \dots \dots \dots (13)$$

$$q_c = \frac{k_i L}{8\sigma v'' T_s} (T_w - T_s)^2 \quad \dots \dots \dots (14)$$

(13)式은 氣泡半徑 R_c 와 核沸騰이 開始할 때의 热流束 q_c 와의 關係를 나타내고 (14)式은 q_c 와 傳熱面의 過熱度 $(T_w - T_s)$ 와의 關係를 表示한다.

(2·3) 푸울沸騰과 限界热流束

本實驗과 같이 實驗流體가 停滯되어 있는 푸울沸騰에 있어서의 核沸騰現象도 根本的으로는 傳熱面上의 凹部에서 氣泡가 生成되고 成長한다고 알려져 있다.

傳熱面 近傍에는 飽和溫度 以上的 過熱液이 存在하며 凹部에서 成長한 氣泡는 浮力, 重力 및 表面張力과의 힘의 平衡에 依하여 傳熱面의 離脱이 可能하다. 傳熱面을 離脱한 氣泡는 伴流를 隨伴하여 上昇하며 이때 氣泡와 함께 過熱液도 伴流로서 上昇하여 热의 移動을 促進한다.

基本的으로는 流動 또는 停止의 경우에 核沸騰의 發生은 凹部에서 비롯됨으로 兩者間에는 定性的인 差가 없으므로 다음과 같이 表示할 수 있다

$$q = C \Delta T^* \quad \dots \dots \dots (15)$$

上式에서 ΔT 는 傳熱面의 過熱度로써 $\Delta T = T_w - T_s$ 이다. 表面의 거칠기의 變化에 따른 沸騰特性의 變化는 結局 傳熱面 氣泡의 發生點數의 差라고 생각된다.¹³⁾

本 實驗의 領域은 核沸騰領域이며 그 限界热流束을 구해 보면 다음과 같다.

1) Rohsenow-Gerffith¹⁵⁾

$$\begin{aligned} q_c &= 43.6 \cdot L \cdot Pv \cdot \left(\frac{\rho_i - \rho_g}{\rho q} \right)^{0.6} \\ &= 43.6 \times 35.1 \times 7.36 \times \left(\frac{1.51 \times 10^3 - 7.36}{7.36} \right)^{0.6} \\ &= 2.739 \times 10^5 \text{ (Kcal/m}^2\text{h,)} \quad \dots \dots \dots (16) \end{aligned}$$

2) Kutateladze¹⁶⁾

$$\begin{aligned} q_c &= 0.16 \cdot L \rho_g \cdot \left\{ \frac{\sigma \cdot g \cdot g_o \cdot (\rho_i - \rho_g)}{Pv^2} \right\}^{1/4} \\ &= 0.16 \times 35.1 \times 7.36 \times \\ &\quad \left\{ \frac{0.00166 \times (1.271 \times 10^3) \times (1510 - 7.36)}{7.36^2} \right\}^{1/4} \\ &= 2.159 \times 10^5 \text{ (Kcal/m}^2\text{h,)} \quad \dots \dots \dots (17) \end{aligned}$$

3) Zuber¹⁷⁾

$$\begin{aligned} q_c &= (0.120 \sim 0.157) \cdot L \cdot \rho_g \cdot \left\{ \frac{\sigma \cdot g \cdot g_o \cdot (\rho_i - \rho_g)}{\rho^2 q} \right\} \\ &= (0.120 \sim 0.157) \times 35.1 \times 7.36 \\ &\times \left\{ \frac{0.00166 \times (1.271 \times 10^3)^2 \times (1510 - 7.36)}{7.36^2} \right\}^{1/4} \\ &= 1.619 \times 10^5 \sim 2.118 \times 10^5 \text{ (Kcal/m}^2\text{h,)} \\ &\dots \dots \dots (18) \end{aligned}$$

4) Chang¹⁸⁾

$$\begin{aligned} q_c &= 0.145 \cdot L \cdot \rho_g \cdot \left\{ \frac{\sigma g^2 \cdot (\rho_i - \rho_g)}{\rho g^2} \right\}^{1/4} \cdot \frac{\rho_i + \rho_g}{\rho g} \\ &= 0.143 \times 35.1 \times 7.36 \\ &\times \left\{ \frac{0.00166 \times (1.271 \times 10^3)^2 \times (1510 - 7.36)}{7.36^2} \right\}^{1/4} \\ &\times \frac{1510 + 7.36}{1510} \\ &= 1.966 \times 10^5 \text{ (Kcal/m}^2\text{h,)} \quad \dots \dots \dots (19) \end{aligned}$$

따라서 $R-113$ 을 實驗流體로 하였을 때 限界热流束의 범위는 $1.619 \times 10^5 \sim 2.739 \times 10^5 \text{ Kcal/m}^2\text{h,}$ 가 된다.

3. 實驗裝置

實驗裝置의 全體 配置圖는 Fig. 3 및 Fig. 4에 서 보는 바와 같다.

實驗裝置는 實驗部, 電氣加熱部 및 溫度測定部로 나누어 진다.

(3.1) 實驗部

實驗用 傳熱面은 機械加工性이 좋은 黃銅을 指하였다. 黃銅棒은 直徑 100mm, 길이 100mm 이며, 加熱을 하기 위해서 히이터가 捕入되는 黃銅棒의 下部는 Fig. 6에서 보는 바와 같다. 黃銅棒은 市販用이며 化學分析한 결과는 Table. 1

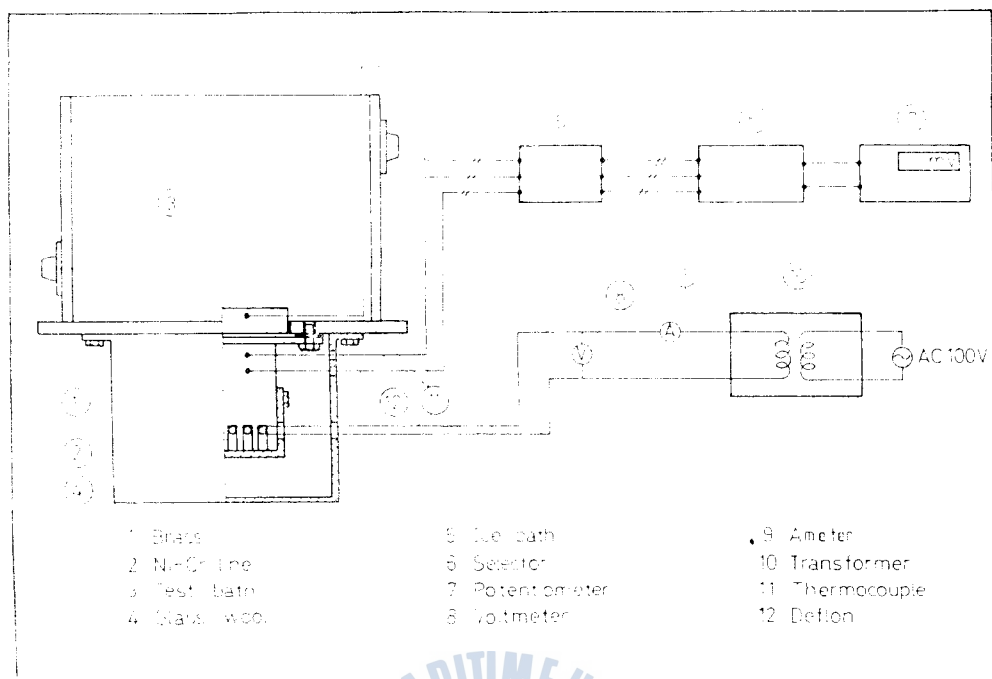


Fig. 3. Schematic Diagram of Experimental Apparatus

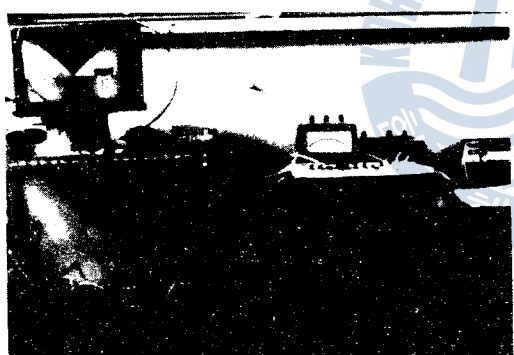


Fig. 4 Experimental Apparatus

Table 1에 표한 바와 같이, 본 연구에서 사용한 黃銅棒은 100mm의 長さ와 5mm, 35mm, 50mm의 位置에 直徑 1.5mm, 깊이 40mm의 구멍을 끓어 外徑 1.5mm의 써츠形 C-C熱電對를 捕入하였다. 이전에 하여 定常狀態에서 黃銅棒내의 溫度分布는 直線近似함으로서 外捕法에 依하여 傳熱面의 溫度를 推定하였다. 本研究에서는 各種 傳熱面對의 表面溫度測定을 为了利用되며 또한 本實驗에서는 氣泡의 發生消滅이 時時刻刻 行かれ며 그 때 時間平均의 傳熱面 溫度를 測定하는 有効な 方法이다. 上部 傳熱面对 裝置는 實驗流體의 流動에 阻碍을 보다 約 3mm 程度 金屬 壓板과 함께 寫真撮影을 할 경우 氣泡의 觀察을 容易하게 하였다. 또한 텅크와 加熱部 間의 接觸부 및 管道와 金屬部分에서는 斷熱 및 實驗流體의 予害을 防止하기 为了하여 板型의 데프론을 利用하였다.

實驗流體를 담는 텅크의 側面 및 底面은 加工性이 좋고 熱膨脹率이 적은 베크라이트板을 利用하였다. 특히 底面에는 흙을 바셔 組立할 때 垂直面의 直角度를 維持하였다. 텅크의 前面 및 後面은 아크릴板을 利用하였으며, 이는 核沸騰의 觀察 및 寫真撮影을 하기 위함이다. 本研究는 實驗流體의 溫度를 一定하여 標持하기 为了하여 兩

$b = 100.5 \pm 0.15 (T - 20)$ (20)
 環狀形 C-C熱電對를 捕入한 다음에는 Fig. 3에서 보는 바와 같이 内部 感應器를 附着시켜 하니가 傳熱面에 電極도구를 作用시켜 感應器를 斷熱材로 保護하였다. 傳熱面의 表面溫度를 豫測하기 为了하여 黃銅棒에는 上부 表面에서 距離가 각각 5mm, 35mm, 50mm의 位置에 直徑 1.5mm, 깊이 40mm의 구멍을 끓어 外徑 1.5mm의 써츠形 C-C熱電對를 捕入하였다. 이전에 하여 定常狀態에서 黃銅棒내의 溫度分布는 直線近似함으로서 外捕法에 依하여 傳熱面의 溫度를 推定하였다. 本研究에서는 各種 傳熱面對의 表面溫度測定을 为了利用되며 또한 本實驗에서는 氣泡의 發生消滅이 時時刻刻 行かれ며 그 때 時間average의 傳熱面 溫度를 測定하는 有効な 方法이다. 上부 傳熱面对 裝置는 實驗流體의 流動에 阻碍을 보다 約 3mm 程度 金屬 壓板과 함께 寫真撮影을 할 경우 氣泡의 觀察을 容易하게 하였다. 또한 텅크와 加熱部 間의 接觸부 및 管道와 金屬部分에서는 斷熱 및 實驗流體의 予害을 防止하기 为了하여 板型의 데프론을 利用하였다.

實驗流體를 담는 텅크의 側面 및 底面은 加工性이 좋고 熱膨脹率이 적은 베크라이트板을 利用하였다. 특히 底面에는 흙을 바셔 組立할 때 垂直面의 直角度를 維持하였다. 텅크의 前面 및 後面은 아크릴board를 利用하였으며, 이는 核沸騰의 觀察 및 寫真撮影을 하기 위함이다. 本研究는 實驗流體의 溫度를 一定하여 標持하기 为了하여 兩



Fig. 5. Schematic Diagram of Detection Apparatus for Thermocouple

側壁의 上下에 孔을 設置하고, 必要한 경우 實

Table 1. Composition Analysis Results

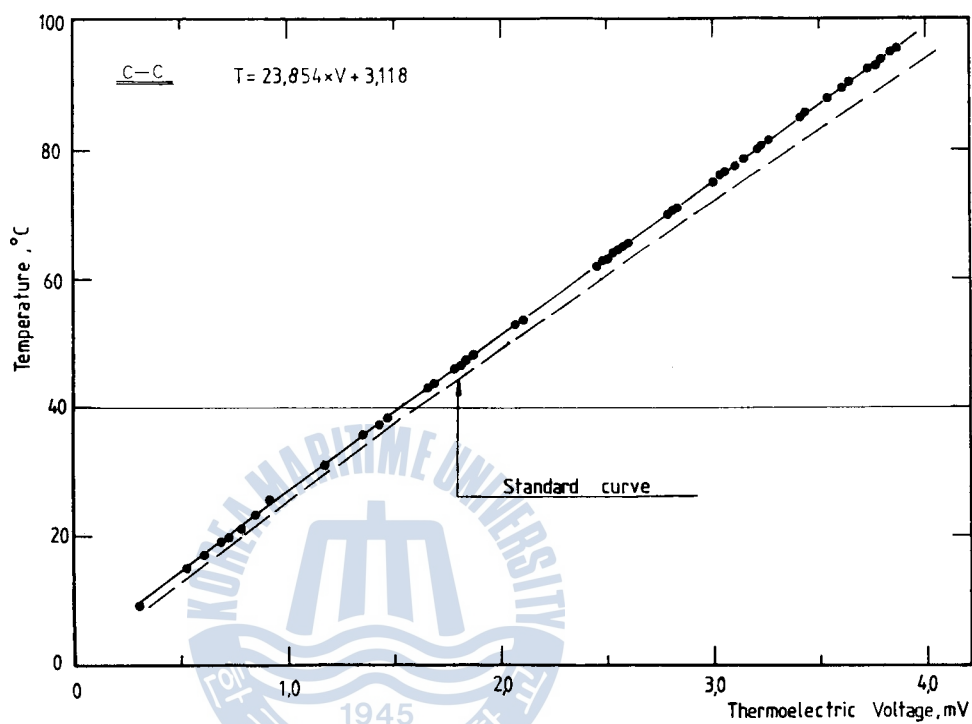


Fig. 9. Experimental Curve of C-C Thermocouple

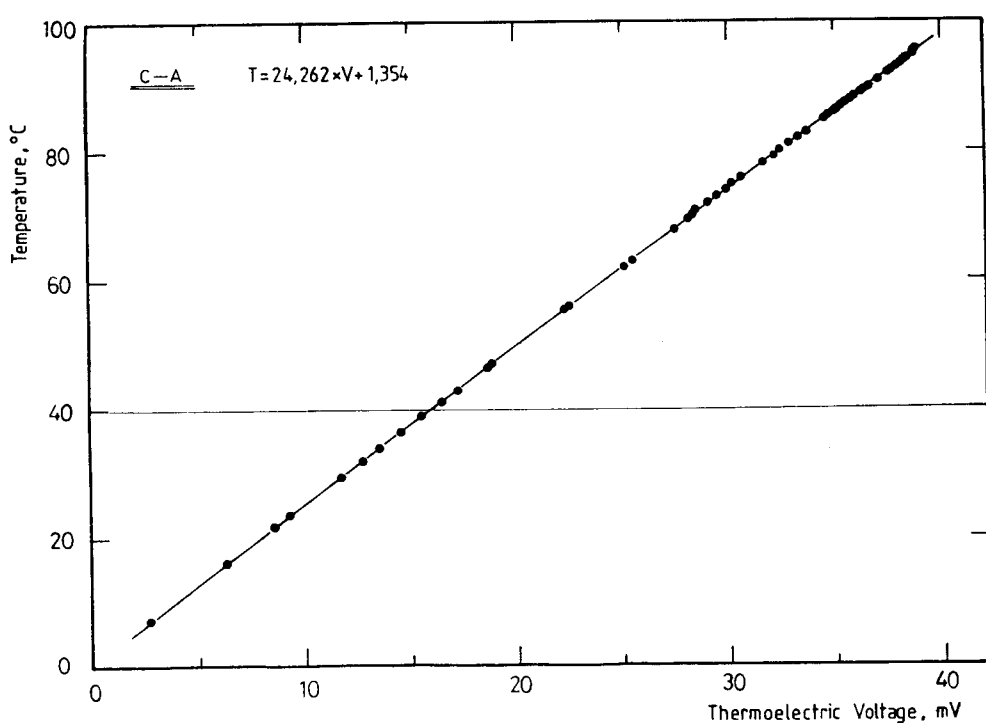


Fig. 10. Experimental Curve of C-A Thermocouple

Fig. 10의 檢定值는 標準起電力 曲線과 거의
一致하였기 때문에 表示하지 않았다. 差異가 생
기는 原因으로서는 各 热電對 또는 其準接點 箱
子 内 素線成分差 等이 起因한다고 생각된다.
이는 檢定置를 最少自乘法으로 處理하여 數式化
하면 表面에서 5mm, 50mm 位置의 热電對는
다음과 같다.

$$T = 23,854 \times mV + 3,118 \dots \dots \dots \quad (21)$$

35mm 位置의 熱電對이 關掉되는

$$T=24,262 \times mV+1,354 \dots \dots \dots \quad (22)$$

이후實驗式의結果를實測值과比較할때오차가平均 0.1°C 이하로써充分한正確度를呈여하고있다.

(3·6) 雷壓計의 檢定

Fig. 3 및 Fig. 4에 제시한 바와 같이 본 실험은 사용자 전력계는 무부하상태에서 계수형 전력계를 이용하여 측정하는 형식이다.

結果如 Fig. 11 所示。由檢定結果，最少自滅時間處理與未處理的半壽期無異。

上式即為電壓計電容的 V_C 計數型電位差計的範圍關係。

計數型電位差計皆測量毫伏的範圍外。自動的

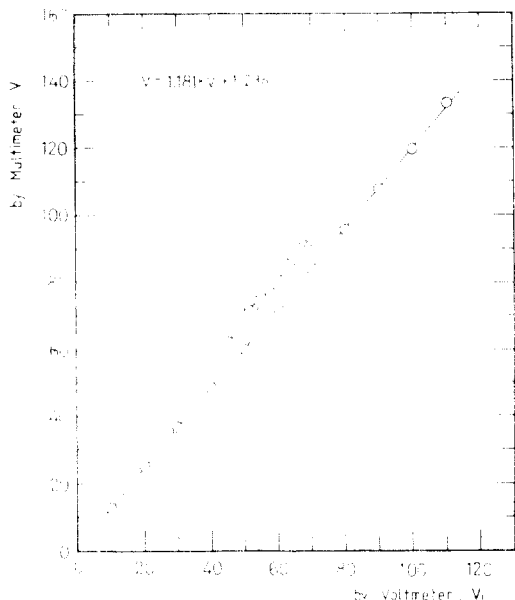


Fig.11. Calibration Curve of Voltmeter by Multimeter

으로擇하여지고, 有效숫자는 대자리아니 本實驗範圍에서 要하는 것은 두 자리이므로 충분히有賴性 있는 結果를 얻을 수 있었다.

따라서 本 實驗에서 加熱用 히터에 供給되는
電壓은 이와 같이 檢定盤 檢定式에 依託 試
는 計數型電位差計가 表示하는 電壓을 真의 電
压로 하였다.

(3·7) 實驗方法

本實驗에서는傳熱表面의 특성과近傍의 狀態에 따라沸騰特性이 어떻게 变화하는가를 알기 위함이다.

傳熱面은 平滑한 面을 #100, #60, #36의
사포로써 表面거친기를 바꾸었으며, 傳熱面 表
면의 32mm, 16mm의 黃銅材 網을 設置하여
實驗을 行하였다. 먼저 平滑한 傳熱面의 狀態에
서 最大熱流束까지 實驗을 한 다음 表面을 #
100, #60 및 #36 사포로 處理하여 각각 實驗
하였다. 其社 #36 사포를 處理한 狀態에서 表
面을 0.5mm程度 位置한 32mm, 16mm
의 黃銅網을 設置하여 實驗을 行하였다.

各實驗條件下에서 實驗을 행하는 方法를 다
10과 5번은 觀察을 通하여 極沸騰이 發生하기
시작하면 近傍의 加熱量을 最小 熱流束으로 制
하였다. 11 狀態로準의 電壓은 5~10V 를 기준
으로 하여 하면서 實驗을 行하였다. 所定의 電壓
을 加熱 다음 링크 上部의 冷却用 黃銅棒 온도를
측정하여 冷却을 시킴으로써 주어진 하에서 實驗
條件에서 定常狀態를 繼持하고 測定을 하였
다. 本 實驗에서 定常狀態를 表하는 黃銅棒內의
溫度分布와 時間에 對하여 一併敘述하였다.

供給電壓會一定速率維持上升時，傳熱面上部到 35mm 位置的熱電對引起電力 $15\text{分}\times$ 以每一定速率維持時升溫調電會 $5\text{度}/\text{分}$ ，所要時間約 30分 程度。

測定장면에 각熱輻射起電力, 電暈等, 調定
한후에 烏氈撮影을 하였다. 約眞全商 慮度의
ASA 400의 鏡頭를 利用하였으며, 照明用은 500W의 宜眞用 白熱燈을 利用하였다. 限界熱
流束狀態時시의 傳熱面의 燐損(Burnout) 防止
를 위하여 傳熱面 表面에서 50mm 位置의 热傳
對의 热起電力이 急上昇하는 電源을 越過할
수 있게 하였다.

4. 實驗結果與考察

(4·1) 實驗結果

(23) 式으로부터 求한 電壓에 依하여 全加熱量 Q 는 다음과 같다.

$$Q = 0.86 \frac{V^2}{R} \quad \dots \dots \dots \quad (24)$$

本實驗에서 使用된 N_i-C_r 히터의 電氣抵抗은 $21,777\Omega$ 으로 單位傳熱面 當加熱量, 即 熱流束 q 는

$$q = Q / \left(\frac{\pi}{4} d^2 \right) = 0.86 \cdot \frac{V^2}{R} / \frac{\pi}{4} d^2 \dots \dots \dots (25)$$

黃銅棒 내에 設置된 位置 5mm, 35mm, 50mm의 熱電對에서 測定된 溫度로부터 溫度勾配를 求하고 이를 Fourier 热傳導方程式에 代入하여 熱流束 q 를 求하면 다음과 같다.

黃銅棒 내에 設置된 3개의 热電對의 指示溫度
에 依한 表面溫度 T_{μ} °C는

$$T_{w1} = \frac{1}{9}(10T_1 - T_3) \quad \dots \dots \dots \quad (28)$$

$$T_{u2} = \frac{1}{3}(10T_2 - 7T_3) \quad \dots \dots \dots \quad (29)$$

이다. 여기에서 T_1 , T_2 , T_3 는 傳熱面 表面에서 5mm, 35mm, 50mm 位置의 热電對의 溫度이다.

(27)式 (28)式 (29)式에서 각각 推算한 T_w 는同一한 값이어야 되지만 热電對를 插入했기 때문에 약간의 測定誤差가 생긴다. 實驗測定에 있어서는 上記 세式에 依한 T_w 의 算術平均值와 比較하여 平均誤差가 0.2°C 以內인 範圍의 實驗데이터만 採用하였다. 또한 上述한 理由로 黃銅棒內 濕度分布로부터 (26)式에서 求한 热流束과 電壓 및 電氣抵抗으로부터 (25)式에서 求한 热流束은 같아야 하나 약간의 誤差가 있으나 實驗의 편의상 (24)式에 依하여 加熱量을 決定하였다. 이 경우 黃銅棒 주변으로부터 斷熱材와 케이싱을 通하여 外部로 放熱된 热量은 定常狀態热傳導方程式으로부터

$$q = \frac{(T_1 - T_3)}{\frac{L_n(r_3/r_1)}{\frac{2\pi k l_{sh}}{l}} + \frac{L_n(r_3/r_2)}{\frac{2\pi k l}{l}}} \quad \dots \dots \dots (30)$$

그러나 이와 같이近似的으로計算한放熱損失은加熱量의 0.1% 미만이므로無視하였다²¹⁾。以上의傳熱面表面溫度와熱流束의關係를 Fig. 12에表示하였다。以上에서 알 수 있는 바와같이表面의 거칠기가 커질수록表面溫度가낮아진다。또한同一거칠기에서는熱流束이增

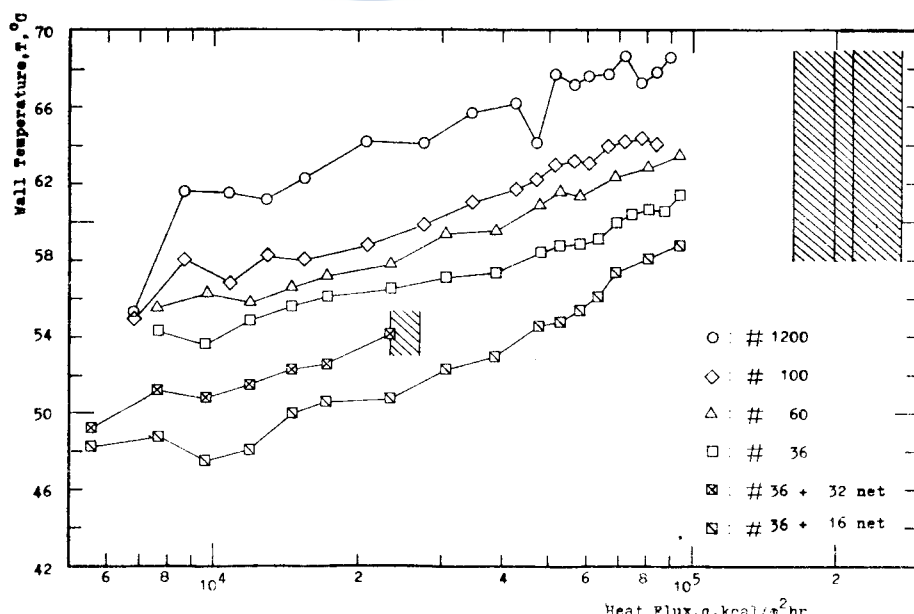


Fig. 12 Wall Temp. Curve with every kind Roughness and Brass Net

加熱後再用粗繩牽牛上昇草料，Fig. 12 雖然有上述的不滿點，(6)式 (7)式 (8)式 (9)式並無甚麼問題。將測試結果列於圖四，本實驗一組的變化率在保證條件下限界熱流束近每小時實驗了四次，平均要掉幾片，表面是 $\pm 30\%$ 以內，對此的抗表面性黃銅網合後會有明顯的改善作用，其體積膨脹性促進掉渣會多些變快，此時的變形率黃銅網合設置時會增加 $\pm 16\%$ 而 $\pm 10\%$ 檢測點初期時，該測驗會變進到 $\pm 10\%$ 之後會變回 $\pm 16\%$ 但測量時，鐵鏈脫落速度會變慢。

$q_{\text{max}} = 2.3 \times 10^4 \text{ kcal/m}^2\text{h}^{\circ}\text{C}$ 傳熱面溫度：最高溫度： 160°C ，各限界熱流束： $2.3 \times 10^4 \text{ kcal/m}^2\text{h}^{\circ}\text{C}$ ，水銀溫度： 160°C ，測驗曲線： $y = 0.0001x^2 + 0.001x + 0.001$ ，實驗結果： $q_{\text{max}} = 2.3 \times 10^4 \text{ kcal/m}^2\text{h}^{\circ}\text{C}$ ， $T_{\text{max}} = 160^\circ\text{C}$ 。

$$P_{\text{out}} = \frac{1}{2} \operatorname{Tr}[P^2] T^2 \quad \dots \quad (31)$$

卷100(2011年第1期) TELCOM 通信技术

¹⁰ [60 : 60-3.633] T³⁻³¹ (see also note 10).

<http://www.ams.org/journals/mcom/2004-73-247/S0025-5718-03-05000-9>

Figure 10. The effect of the parameter α on the solution of the system (1)–(3).

$\pi = 3.141592653589793$; $a = 1859471613$

Fig. 15. 三種色印紙 背面紙 (後面紙)

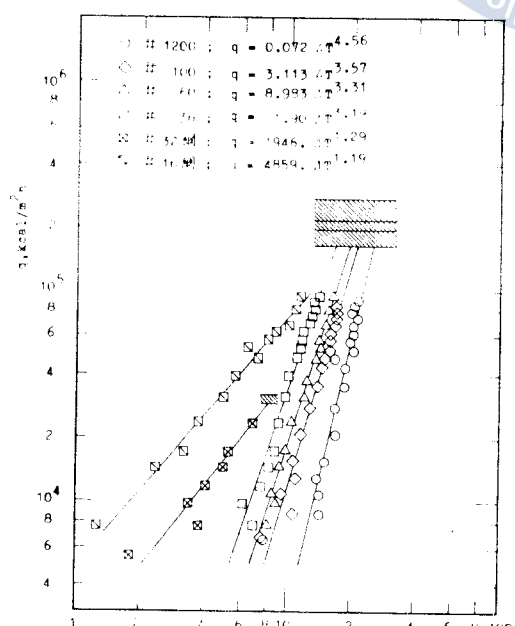


Fig. 13. Wall Superheat, ΔT , °C Nucleate Boiling Curve of R-113

表面不平整，使結晶率降低，熱傳達性降低，過熱度降低，結晶速度降低，移動幅度增加，即表面結晶率降低，結晶速度降低，故泡點數增加，結晶率降低，熱傳達率降低，促進結晶。

Fig. 13에서 보는 바와 같이 #36 차운드 표면
粗度를 處理하고 그 위에 黃銅網을 置한후에는
沸騰曲線의 特性이 크게 变化된다. 即ち 열傳
傳達率이 促進되어 気泡過熱度가 증가하는
의 傳達이 可能하다. 이는 傳熱面 表面上 黃銅
網을 設置함으로써 傳熱面而迂傍하여 形成된 過熱氣
層이 自然對流은 因하여 上昇하는 氣泡가 難以升
는 동시에 淨上부는 氣泡가 下降形成된다. 過熱
液層의 作流을 抑制하여 呼吸作用이 難以生起하
며 Fig. 32에서 黃銅網에 實驗結果는 氣泡過熱
度가 30% 이상 낮은 極端沸騰이 되었고 傳熱
流束은 過熱氣泡層에 由於傳熱面에 產生된 氣泡의 離脱作用에由於, 氣泡의 離脱作用에
由於氣泡의 吸攏作用에由於, 進行面上 傳熱面에 由
於氣相으로 被覆되어 熱抵抗이 難以 結果되는 液膜沸騰狀態로 由於气泡의 遷移由於 限界熱流束에
到達하였다. Fig. 14는 각 實驗條件에 對하여 36# 차
의 차운드 比較的 작은 熱流束狀態의 實驗結果, 36# 차
에서 얻수 있는 바와 같이 平滑한 傳熱面에
서 氣泡의 発生은 傳熱面에서 氣泡의 發生이 激烈
하고 表面을 치밀게 하였을 때는 特別히 形成된
층은 떠나서 氣泡의 發生하고 以 consequence 由於 氣
泡

Fig. 15-1 熱流束 \dot{Q} ($2.34 \sim 2.71 \times 10^4$ kcal/m²h) 與管內溫度 T_1 (K) 的關係。管內溫度 T_1 傳熱面
表面溫度 T_2 氣泡半徑 r (mm) 發生時之關係。Fig.
16-1 本實驗結果與管內熱流束 \dot{Q} 管壁溫度 T_2
半徑 r 在氣泡半徑 r 發生時之管壁溫度 T_2 並與
管外淨遊氣泡半徑 r 存在時間 t 量測結果之管外
實驗流體半週期的 ω 振動角 θ 之關係。
諸值由水實驗得出者。

(4·2) 老 父

Fig. 17에 本實驗結果 求得 實驗式 (31)~(36)
外側壁 代表的唯 他研究 結果式와 比較된다.
Fig. 17에서 (1)은 Nishigawa²²⁾에 依하 直徑 100
mm中 水平傳熱面에 있어서 풍의 實驗結果와
결과로서 다음 式으로 表示한다.

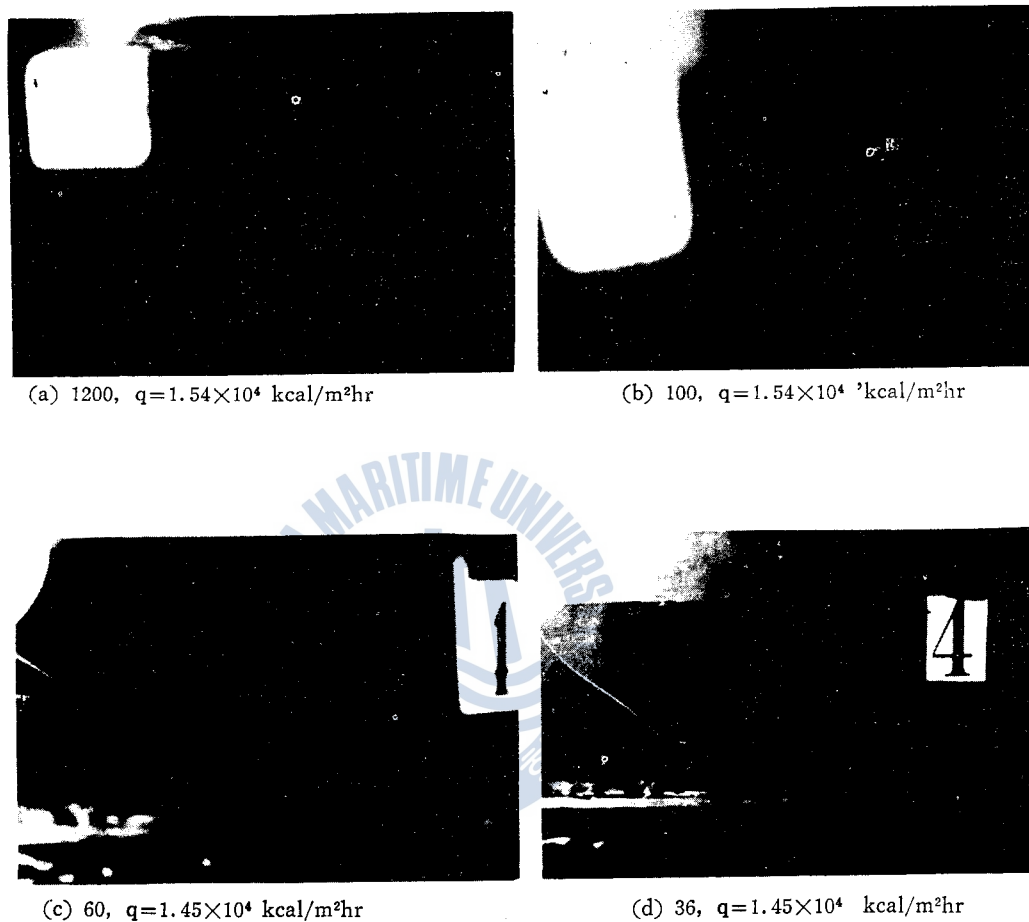
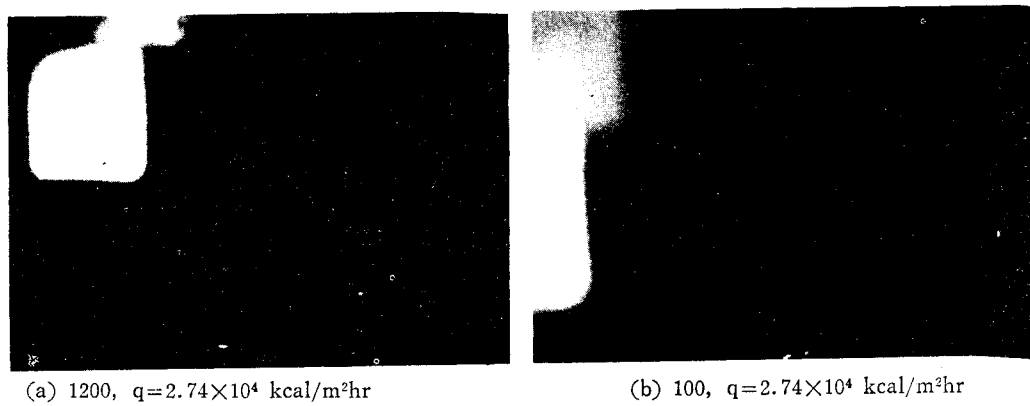
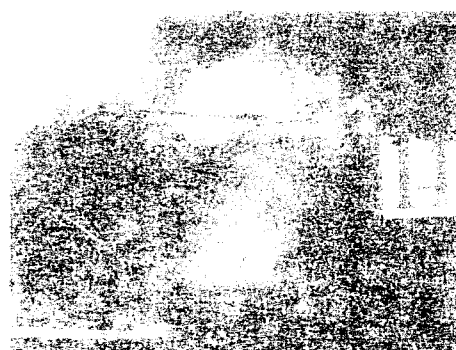
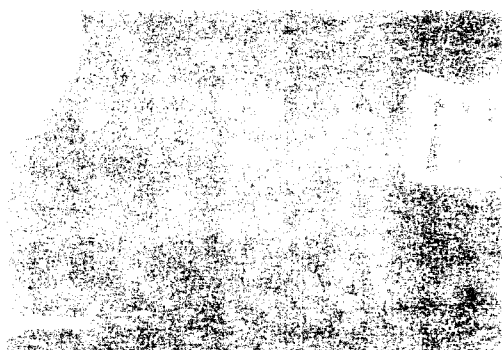
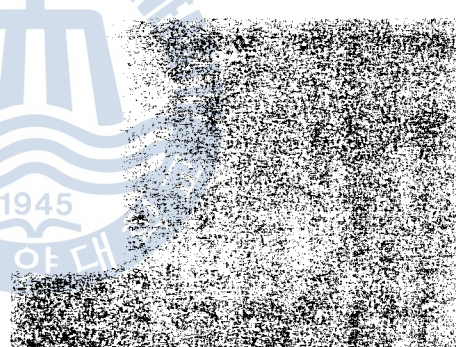
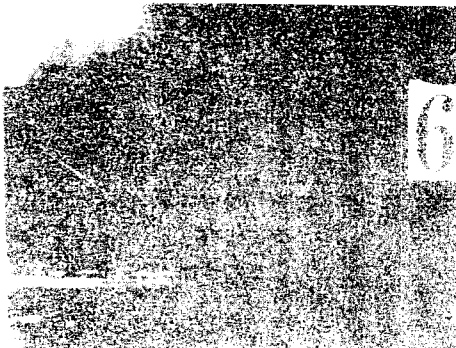
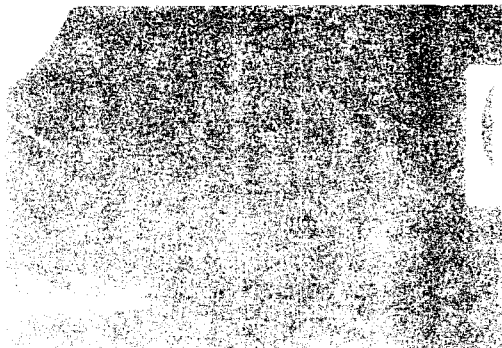


Fig.14. Nucleate Boiling of R-113





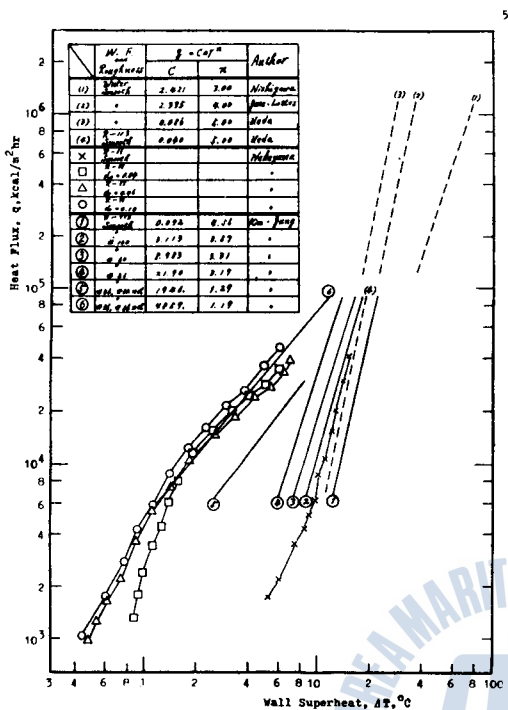


Fig. 17. Comparasion Curve of every kind Studies in N. B.

(2)는 Jens and Lottes²³⁾에 의한 물의 過冷狀態에 關한 結果로써 다음 式으로 表示된다.

$$q=2.335\Delta T^{4.00} \quad \dots \dots \dots \quad (38)$$

(3)은 T. Ueda가 구한 結果이며, 이는 電氣加熱하는 圓柱의 外側을 自由落下하는 狀態의 물의 實驗에서 求한 結果이며 다음 式과 같이 된다.

$$q=0.086\Delta T^{5.00} \quad \dots \dots \dots \quad (39)$$

또한 T. Ueda²⁴⁾는 本實驗流體와 같은 R-113을 利用하여 (4)의 結果를 얻었으며, 다음 式으로 表示된다.

$$q=0.044\Delta T^{5.00} \quad \dots \dots \dots \quad (40)$$

傳達率이 좋은 Nakayama의 實驗結果¹¹⁾와도 比較하였다. Nakayama는 더이보冷凍機의 热交換器에 있어서 沸騰熱傳達促進을 爲하여 마련된 連續 턴넬을 갖는 傳熱面을 製作하여 R-11을 利用한 核沸騰實驗을 행하였다. Fig. 17과 같이 적은 热流束에서 核沸騰이 開始되고 普通의 傳熱面보다 훨씬 높은 热傳達率을 일울 수 있음을 알았다. 즉 普通의 傳熱面에 比하여 훨씬 낮은 過熱度로써 同一한 热을 移動시킬 수 있었다.

Nakayama의 긴 턴넬을 利用한 實驗結果는 本實驗에서 表面을 #36사포로 加工하여 約 0.5 mm 높이에 16매쉬의 黃銅網을 設置한 狀態의 沸騰曲線과 定量的 및 定性的으로도 類似함을 알 수 있다.

5. 結論

R-113을 利用한 核沸騰實驗을 通하여 다음과 같은 結果를 얻었다.

1. 傳熱面의 表面에 人工的으로 核沸騰의 發泡點을 增加시킴으로써 높은 热傳達率을 얻을 수 있었다.

2. $q=C\Delta T^n$ 으로 表示될 경우 指數 n 는 거칠기가 커질수록 작아지는 경향이 있으며, 同一한 热量에서는 거칠어질수록 過熱度 ΔT 는 적어진다.

3. 沸騰을 同伴하는 各種傳熱面의 加工에 있어서 傳熱面의 表面 거칠기를 가공함으로써 傳熱性能의 改善을 도모할 수 있다.

4. 液體를 氣化시키는 容器의 경우는 傳熱面 表面에 離子數의 金屬網을 設置함으로써 더욱 傳熱性能을 改善할 수 있다. 그러나 이 경우 너무 조밀한 網을 써서 氣泡의 離脱을 저해할 경우에는 氣泡의 合體가 進行되어 限界熱流束 값이 작아짐에 유의해야 한다.

參 考 文 獻

- 桑原平吉：トンネルで連通された多數の細孔を持つ面からの沸騰熱傳達, 第14回 日本傳熱シンポジウム, pp. 121~123, (1977).
- Y. Y. Hsu : On the size range of active nucleation cavities on a heating Surface, Trans ASME Ser C, J. Heat Transfer, Vol. 84, pp. 207~216, (1962).
- A. E. Bergles and W. M. Rohsenow : The determination of forced convection surface boiling heat transfer, Trans. ASME Ser. C, J. Heat Transfer, Vol. 86 pp. 365~372, (1964).
- E. J. Davis and G. H. Anderson : Nucleate boiling in forced Convection flow, AICHE Journal Vol. 12 pp. 774~780, (1966).
- W. M. Rohsenow and J. P. Hartnett : Handbook of Heat Transfer, Mc. graw-Hill Book Co. New York, (1973).
- P. Griffith : Nucleation and Bubble Formation in Boiling, Proc. Instn. Mech. Engrs.

- Pt. C., pp. 17~19, (1975).
 7. J. C. Cieni, R. K. Sanderam and F. T. Ozkaynak : A Phenomenological Correlation for P_{cr} , CHF Heat Transfer, U.S. Nuclear Regulatory Commission, NUREG-0637, (1977).
 8. 余子樹 : 沸騰(核)熱傳達の特性, 热傳達とその新領域における傳熱性質, 韓國物理學會論文集, 第1卷, pp. 113~120, (1979.4).
 9. P. Saha and N. Zuber : Point of Net Vapor void Fraction in Subcooled Boiling, 5th Int. Heat Transfer conf., B4.7, pp. 175~178, (1974).
 10. 佐田鈴・鶴正潤 : 鋼鉄金屬 STS系(Ⅲ)の核沸騰熱傳達特性(第2報), 研究, 韓國物理學會誌, 第12卷, 第2號, pp. 23~25, (1980).
 11. W. Nakayama, T. Daikeku, H. Kuwahera, T. Nakajima : Dynamic Model of Enhanced Boiling Heat Transfer, Vol. 102, No. 2, p. 199.
 12. J. P. Holman : Heat Transfer, Mc. Graw-Hill, p. 35, p. 35, (1973).
 13. 西門嘉廉、藤田恭伸、長島昭、岡安孟 : 傳熱工學の研究, 錦賀堂, Vol. 2, p. 5, (1974).
 14. 日本機械學會 : 傳熱工學資料, 明治社, pp. 293~328, (1981.4).
 15. W. M. Rohsenow and P. Griffith : Correlation of Maximum Heat Transfer Data for Boiling of Saturated Liquids, Chem. Eng. Symp. Series, Vol. 51, No. 14, p. 47, (1955).
 16. S. S. Kutateladze : Heat Transfer in Condensation and Boiling, USAEC Rept. AEC-tr-3774, (1952).
 17. N. Zuber : Hydrodynamic Aspects of Boiling, Heat Transfer, USAEC Rept. AECU-4429, Doctoral Dissertation, UCLA, (1955).
 18. Y. P. Chang and N. W. Snyder : Heat Transfer in Saturated Boiling, Chem. Eng. Prog. Symp. Series, Vol. 51, No. 33, pp. 27~38, (1955).
 19. American Society for Metals : Metal Handbook, Vol. 1, Eighth Edition, Metal Part, Ohio, pp. 1027~1028, (1969).
 20. OMEGA Eng. InC : Temperature Measurement Handbook, pp. A8~A25, (1979).
 21. 大鶴和男 : 液熱技術, 珍文社, pp. 52~55, (1979).
 22. 田川・山崎 : Int. J. Heat Mass Transfer, Vol. 1, p. 219, (1969).
 23. W. H. Jens and P. A. Lettes : Analysis of Heat Transfer, BurnOut, Pressure Drop and Density Data for High Pressure Water, USAEC Rept. ANL-4627, (1951).
 24. T. Ueda, M. Inoue and S. Nagatome : Critical Heat Flux and Droplet Entrainment Rate of Falling Liquid Films with Boiling, 第16回 日本傳熱シンポジウム, Vol. 16, B115, pp. 214~216, (1974.4).

分岐가 있는 推進軸系 비틀림振動 計算의 電算프로그램 開發에 關한 研究

許 南 均

A Study on the Developing a Computer Program for the Torsional
Vibration Calculation of Branched Shaft System

Hyo Namkyun

-(目 次).....
1. 머릿말
 2. 分岐가 있는 軸系의 固有振動數 및 振動型의 計算
 - 2·1 軸系의 構成
 - 2·2 質量慣性모멘트매트릭스와 비틀림剛性매트릭스
 - 2·3 Jacobi 回轉法에 依한 固有值, 固有ベタ의 計算
 - 2·4 Holzer表 의 作成
 3. 振動에 依한 附加應力의 計算
 - 3·1 B & W 型機關
 - 3·2 Sulzer 型機關
 - 3·3 動倍率
 - 3·4 토크하모닉係數
 4. 電算프로그램
 - 4·1 電算프로그램의 概要
 - 4·2 電算프로그램의 플로우차트
 5. 實際 軸의 計算과 그 結果의 比較檢討
 - 5·1 供試軸系의 特性
 - 5·2 計算結果
 - 5·3 計算結果의 比較檢討
 6. 結論
 - 參考文献